

Ю. Л. ТАРАСОВ

ОПРЕДЕЛЕНИЕ НАПРЯЖЕНИЙ В СОЧЛЕНЕНИИ ТРУБОПРОВОДА СО СФЕРИЧЕСКИМ ДНИЩЕМ БАКА

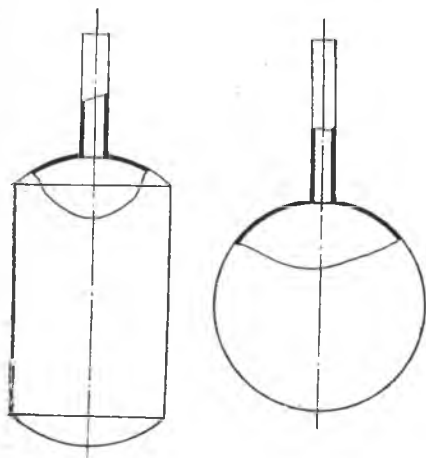
ПРИНЯТЫЕ ОБОЗНАЧЕНИЯ

- ω — радиальные перемещения цилиндрической оболочки (трубки);
 R — радиус срединной поверхности трубки и отверстия в вершине сферической оболочки;
 R_0 — радиус срединной поверхности сферической оболочки;
 δ, δ_0 — толщина трубки, сферической оболочки;
 $\xi = \frac{x}{R}$ — координата, определяющая положение точек срединной поверхности трубки на ее образующей;
 Δ — приращение радиуса параллельного круга сферической оболочки;
 l — длина трубки;
 D, D_0 — изгибная жесткость* цилиндрической оболочки (трубки), сферической оболочки;
 p, P — внешняя нагрузка;
 M_ξ, M_φ — изгибающий момент в поперечном сечении цилиндрической оболочки (трубки), в нормальном сечении сферической оболочки;
 Q_ξ, Q_φ — перерезывающая сила в поперечном сечении цилиндрической оболочки, в нормальном сечении сферической оболочки;
 N_ξ, N_φ — нормальные усилия в поперечном сечении цилиндрической оболочки, в нормальном сечении сферической оболочки;
 μ, E, E_0 — коэффициент Пуассона, модуль упругости материала трубки, материала сферической оболочки.

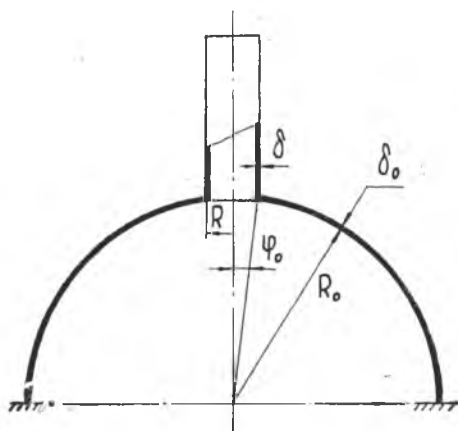
В авиационных конструкциях, а также в химических машинах и аппаратах имеются узлы, представляющие собой сочленение трубопроводов со сферическими днищами баков или емкостей (фиг. 1). При работе таких конструкций в зоне сочленения

возникают большие изгибные напряжения. А так как эти конструкции и аппараты часто работают в условиях вибраций, то высокий уровень напряжений может привести к усталостному разрушению.

Расчетную схему таких узлов можно представить в виде сферической оболочки, к которой приварена цилиндрическая оболочка-трубка (фиг. 2).



Фиг. 1.



Фиг. 2.

В настоящей статье исследуются напряжения, возникающие в зоне сочленения трубки со сферической оболочкой. Трубка по свободному торцу нагружается равномерно распределенными силами вдоль образующих и силами, перпендикулярными оси трубки. Такие нагрузки будут возникать при вибрациях конструкций. Рассмотрен также случай, когда конструкция работает и при наличии внутреннего избыточного давления.

Некоторые задачи подобного рода освещены в литературе. Так, в работе [7] дан расчет сферического сосуда давления с отверстием в вершине, к которому присоединена цилиндрическая трубка. При решении задачи о сосредоточенных воздействиях на сферическую оболочку в работе [5] в качестве примера рассмотрена полусфера с присоединенной упругой трубкой, к которой приложен момент. Записаны граничные условия для определения постоянных интегрирования и приведены результаты решения для одного частного случая. Статья [6] посвящена численному анализу местных напряжений в сферической оболочке от радиальных и моментных нагрузок, передаваемых через жесткий цилиндр.

В статье [9] дано теоретическое исследование напряженного

состояния сферической оболочки, обусловленного внешними силами и моментами, которые воздействуют на оболочку через упругий нерадиальный цилиндрический патрубок.

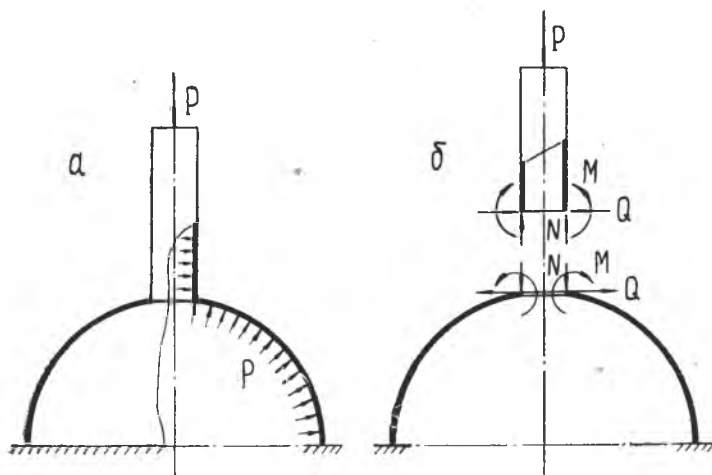
В работе [8] представлены экспериментальные и теоретические результаты в виде графиков напряжений для шести различных сферических оболочек с радиально прикрепленными патрубками. В некоторых образцах патрубков проходил через стенку оболочки.

Результаты экспериментальных исследований сосудов давления в виде сферических оболочек, к которым были приварены трубки, приведены в трудах симпозиума [10], состоявшегося в Глазго в мае 1960 г.

Несмотря на важность указанной проблемы, до настоящего времени нет методики расчета напряжений в сочленениях трубопроводов или патрубков с тонкостенными сферическими элементами, доведенной до вида, удобного в инженерных расчетах. Отсутствуют также обоснованные рекомендации по рациональному конструктивному оформлению сочленений.

Рассмотрим вначале случай, когда система подвергается действию силы P (фиг. 3а). При решении задачи воспользуемся методом сил. С этой целью сферическую оболочку мысленно отсечем от цилиндрического патрубка. Взаимодействие оболочек заменим усилиями M , N и Q (фиг. 3б). Усилия N найдем из условия равновесия

$$N = \frac{P}{2\pi R} \quad (1)$$



Фиг. 3.

для определения же M и Q имеем два канонических уравнения, представляющих собой условия совместности деформаций сферической оболочки и патрубка в месте их сочленения:

$$\begin{aligned}\Delta_{MO} + \delta_{MM} M + \delta_{MQ} Q &= 0, \\ \Delta_{QO} + \delta_{QM} M + \delta_{QQ} Q &= 0.\end{aligned}\quad (2)$$

В этих уравнениях

$$\begin{aligned}\Delta_{MO} &= -\vartheta_0(\varphi_0), \\ \delta_{MM} &= -\frac{1}{R} \left[\frac{d\bar{w}_M}{d\xi} \right]_{\xi=0} - \bar{\vartheta}_M(\varphi_0), \\ \delta_{MQ} = \delta_{QM} &= -\frac{1}{R} \left[\frac{d\bar{w}_Q}{d\xi} \right]_{\xi=0} - \bar{\vartheta}_Q(\varphi_0), \\ \Delta_{QO} &= -\bar{w}_Q + \Delta_0(\varphi_0), \\ \delta_{QQ} &= -\bar{w}_Q(0) + \bar{\Delta}_Q(\varphi_0).\end{aligned}\quad (3)$$

ϑ — угол поворота нормали к срединной поверхности сферической оболочки.

Для вычисления коэффициентов воспользуемся решениями уравнений осесимметричного изгиба сферических и цилиндрических оболочек [5], [1].

Следуя работе [5], запишем выражение перерезывающей силы в сферической оболочке в виде:

$$Q_\varphi = \frac{E_0}{(1-\mu^2) \frac{R_0}{\delta_0}} [A_1 V_1 + A_2 V_2 + A_3 V_3 + A_4 V_4]. \quad (4)$$

Здесь

$$\begin{aligned}V_1 &= \sqrt{\frac{\varphi}{\sin \varphi}} \operatorname{ker}' z, \\ V_2 &= \sqrt{\frac{\varphi}{\sin \varphi}} \operatorname{kei}' z, \\ V_3 &= \sqrt{\frac{\varphi}{\sin \varphi}} \operatorname{ber}' z, \\ V_4 &= \sqrt{\frac{\varphi}{\sin \varphi}} \operatorname{bei}' z, \\ z &= \sqrt{2} x_0 \varphi, \quad x_0 = \sqrt[4]{3(1-\mu^2) \left(\frac{R_0}{\delta_0} \right)^2 - \frac{1}{4} \mu^2}, \\ \operatorname{ker}' z &= \frac{d}{dz} \operatorname{ker} z\end{aligned}\quad (5)$$

и так далее.

A_1 — постоянные интегрирования, подлежащие определению из граничных условий.

Удержим в решениях уравнений изгиба сферических оболочек только убывающие функции и введем обозначения:

$$a_1 = \frac{1}{(1-\mu^2) \frac{R_0}{\delta_0}} V_1,$$

$$a_2 = \frac{1}{(1-\mu^2) \frac{R_0}{\delta_0}} V_2,$$

$$b_1 = x_0^2 \frac{1}{6(1-\mu^2)^2 \left(\frac{R_0}{\delta_0}\right)^2} \left[\dot{V}_2 + \mu V_2 \operatorname{ctg} \varphi - \frac{\mu}{2x_0^2} (\dot{V}_1 + \mu V_1 \operatorname{ctg} \varphi) \right],$$

$$b_2 = -x_0^2 \frac{1}{6(1-\mu^2)^2 \left(\frac{R_0}{\delta_0}\right)^2} \left[\dot{V}_1 + \mu V_1 \operatorname{ctg} \varphi + \frac{\mu}{2x_0^2} (\dot{V}_2 + \mu V_2 \operatorname{ctg} \varphi) \right],$$

$$g_1 = \frac{2x_0^2}{(1-\mu^2) \frac{R_0}{\delta_0}} \left(V_2 - \frac{\mu}{2x_0^2} V_1 \right),$$

$$g_2 = -\frac{2x_0^2}{(1-\mu^2) \frac{R_0}{\delta_0}} \left(V_1 + \frac{\mu}{2x_0^2} V_2 \right),$$

$$c_1 = \frac{\sin \varphi}{1-\mu^2} (\mu V_1 \operatorname{ctg} \varphi - \dot{V}_1),$$

$$c_2 = \frac{\sin \varphi}{1-\mu^2} (\mu V_2 \operatorname{ctg} \varphi - \dot{V}_2), \quad (6)$$

где

$$\dot{V}_1 = -\sqrt{2} x_0 \sqrt{\frac{\varphi}{\sin \varphi}} \left[\operatorname{ker} z + \frac{1}{2\sqrt{2} x_0} \left(\frac{1}{\varphi} + \operatorname{ctg} \varphi \right) \operatorname{ker}' z \right],$$

$$\dot{V}_2 = \sqrt{2} x_0 \sqrt{\frac{\varphi}{\sin \varphi}} \left[\operatorname{ker} z - \frac{1}{2\sqrt{2} x_0} \left(\frac{1}{\varphi} + \operatorname{ctg} \varphi \right) \operatorname{ker}' z \right]. \quad (7)$$

Запишем теперь выражения для усилий и перемещений:

$$Q_\varphi = E_0 [a_1(\varphi) A_1 + a_2(\varphi) A_2], \quad (a)$$

$$M_\varphi = E_0 \delta_0 [b_1(\varphi) A_1 + b_2(\varphi) A_2], \quad (б)$$

$$\vartheta = \frac{1}{\delta_0} [g_1(\varphi) A_1 + g_2(\varphi) A_2], \quad (в)$$

$$\Delta = c_1(\varphi) A_1 + c_2(\varphi) A_2 + \frac{1+\mu}{2\pi E_0 \delta_0 \sin \varphi} P, \quad (г)$$

$$N_\varphi = -\frac{E_0 \delta_0}{(1-\mu^2) R_0} \operatorname{ctg} \varphi (V_1 A_1 + V_2 A_2) - \frac{P}{2\pi R_0 \sin^2 \varphi}, \quad (д)$$

$$N_\theta = -\frac{E_0 \delta_0}{(1-\mu^2) R_0} (\dot{V}_1 A_1 + \dot{V}_2 A_2) + \frac{P}{2\pi R_0 \sin^2 \varphi}. \quad (е)$$

Рассмотрим теперь решение уравнения осесимметричного изгиба цилиндрических оболочек. Полагая трубку длиной ($l \geq 2,5 \sqrt{R\delta}$ [3]) и отбрасывая в решении возрастающие функции, будем иметь:

$$\omega = e^{-\kappa \xi} (B_1 \cos \kappa \xi + B_2 \sin \kappa \xi) + \frac{\mu P}{2\pi E\delta} + \frac{pR^2}{E\delta}, \quad (9)$$

$$\frac{d\omega}{d\xi} = -\kappa e^{-\kappa \xi} [B_1 \cos \kappa \xi + \sin \kappa \xi] + B_2 (\sin \kappa \xi - \cos \kappa \xi). \quad (10)$$

Для определения усилий имеем формулы:

$$M_\xi = -\frac{2\kappa^2 D}{R^2} (B_1 \sin \kappa \xi - B_2 \cos \kappa \xi) e^{-\kappa \xi},$$

$$Q_\xi = -\frac{2\kappa^3 D}{R^3} [B_1 (\cos \kappa \xi - \sin \kappa \xi) + B_2 (\cos \kappa \xi + \sin \kappa \xi)] e^{-\kappa \xi} \quad (11)$$

Здесь

$$\kappa = \sqrt[4]{3(1-\mu^2) \left(\frac{R}{\delta}\right)^2}.$$

Найдем теперь все величины, определяющие коэффициенты (3). С этой целью рассмотрим сферическую оболочку, нагружение которой показано на фиг. 3б. Граничные условия здесь имеют вид:

$$\text{при } \varphi = \varphi_0 \quad \begin{aligned} Q_\varphi(\varphi_0) &= Q \sin \varphi_0 - N \cos \varphi_0, \\ M_\varphi(\varphi_0) &= M. \end{aligned} \quad (12)$$

Используя формулы (8а) и (8б), найдем значения постоянных

$$\begin{aligned} A_1 &= \frac{1}{E_0} (Q \sin \varphi_0 - N \cos \varphi_0) \frac{b_2(\varphi_0) - \frac{1}{E_0 \delta_0} M a_2(\varphi_0)}{a_1(\varphi_0) b_2(\varphi_0) - a_2(\varphi_0) b_1(\varphi_0)}, \\ A_2 &= \frac{\frac{1}{E_0 \delta_0} a_1(\varphi_0) M - \frac{1}{E_0} (Q \sin \varphi_0 - N \cos \varphi_0) b_1(\varphi_0)}{a_1(\varphi_0) b_2(\varphi_0) - a_2(\varphi_0) b_1(\varphi_0)}. \end{aligned} \quad (13)$$

Для сферической оболочки, находящейся под воздействием внешних сил (основная система, фиг. 4а), в формулах (13) необходимо положить

$$N = \frac{P}{2\pi R_0 \sin \varphi_0}, \quad M = Q = 0.$$

После определения постоянных A_1^0, A_2^0 при помощи (8в, г) получим

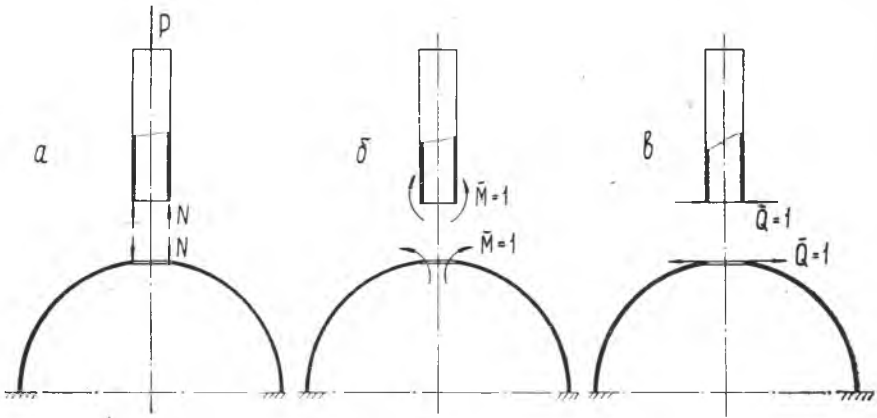
$$\vartheta_0(\varphi_0) = \frac{P}{E_0 \delta_0^2} \alpha_0(\varphi_0, R_0/\delta_0), \quad (14)$$

$$\Delta_0(\varphi_0) = \frac{P}{E_0 \delta_0} \beta_0(\varphi_0, R_0/\delta_0). \quad (15)$$

Здесь введены обозначения:

$$\alpha_0 = \frac{\delta_0}{2\pi R_0 \operatorname{tg} \varphi_0} \frac{b_1(\varphi_0) g_2(\varphi_0) - b_2(\varphi_0) g_1(\varphi_0)}{a_1(\varphi_0) b_2(\varphi_0) - a_2(\varphi_0) b_1(\varphi_0)}, \quad (16)$$

$$\beta_0 = \frac{\delta_0}{2\pi R_0 \operatorname{tg} \varphi_0} \frac{b_1(\varphi_0) c_2(\varphi_0) - b_2(\varphi_0) c_1(\varphi_0)}{a_1(\varphi_0) b_2(\varphi_0) - a_2(\varphi_0) b_1(\varphi_0)}. \quad (17)$$



Фиг. 4.

Аналогично, рассмотрев сферическую оболочку (4б и в) под воздействием краевых сил $M = \bar{M} = 1$ (в этом случае в формулах (13) нужно положить $Q = N = 0$) и $Q = \bar{Q} = 1$ ($N = M = 0$), получим

$$\bar{\vartheta}_M(\varphi_0) = -\frac{1}{E_0 \delta_0^2} \alpha_1(\varphi_0, R_0/\delta_0), \quad (18)$$

$$\bar{\Delta}_M(\varphi_0) = \frac{1}{E_0 \delta_0} \beta_1(\varphi_0, R_0/\delta_0), \quad (19)$$

$$\bar{\vartheta}_Q(\varphi_0) = -\frac{1}{E_0 \delta_0} \alpha_2(\varphi_0, R_0/\delta_0), \quad (20)$$

$$\bar{\Delta}_Q(\varphi_0) = \frac{1}{E_0} \beta_2(\varphi_0, R_0/\delta_0), \quad (21)$$

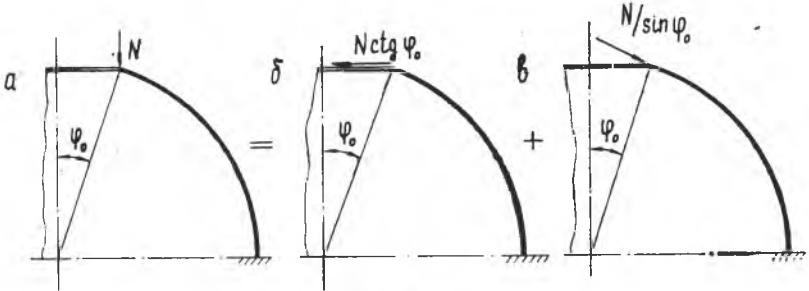
где

$$\alpha_1 = \frac{g_1(\varphi_0) a_2(\varphi_0) - g_2(\varphi_0) a_1(\varphi_0)}{a_1(\varphi_0) b_2(\varphi_0) - a_2(\varphi_0) b_1(\varphi_0)}, \quad \beta_1 = \frac{c_1(\varphi_0) c_2(\varphi_0) - c_2(\varphi_0) c_1(\varphi_0)}{a_1(\varphi_0) b_2(\varphi_0) - a_2(\varphi_0) b_1(\varphi_0)}, \quad (22)$$

$$\alpha_2 = \sin \varphi_0 \frac{b_1(\varphi_0) g_2(\varphi_0) - b_2(\varphi_0) g_1(\varphi_0)}{a_1(\varphi_0) b_2(\varphi_0) - a_2(\varphi_0) b_1(\varphi_0)}, \quad \beta_2 = \sin \varphi_0 \frac{c_1(\varphi_0) b_2(\varphi_0) - c_2(\varphi_0) b_1(\varphi_0)}{a_1(\varphi_0) b_2(\varphi_0) - a_2(\varphi_0) b_1(\varphi_0)}. \quad (23)$$

Заметим, что $\beta_1 = \alpha_2$, а α_0 и β_0 связаны соответственно с α_2 и β_2 . В самом деле, вертикальную погонную нагрузку N_1 действующую на сферическую оболочку (фиг 4а), можно представить как результирующую двух других нагрузок (фиг. 5).

Одна из них $N \operatorname{ctg} \varphi_0$ (фиг. 5б) параллельна силам Q . Силы же $N/\sin \varphi_0$ (фиг. 5в) действуют по касательной к меридиану при $\varphi = \varphi_0$. При действии этих сил состояние оболочки будет безмоментным и, следовательно,



Фиг. 5.

$$N_\varphi = -N_\theta = -\frac{N \sin \varphi_0}{\sin^2 \varphi},$$

$$\Delta = \frac{1 + \mu}{E_0 \delta_0} \frac{N R_0 \sin \varphi_0}{\sin \varphi}, \quad \vartheta = 0. \quad (24)$$

При $\varphi = \varphi_0$ $\Delta(\varphi_0) = \frac{1 + \mu}{E_0 \delta_0} N R_0$.

Таким образом можно записать, что

$$\vartheta_0(\varphi_0) = -\bar{\vartheta}_Q(\varphi_0) N \operatorname{ctg} \varphi_0 = \frac{P}{E_0 \delta_0^2} \frac{\operatorname{ctg} \varphi_0}{2\pi \frac{R_0}{\delta_0} \sin \varphi_0} \alpha_2, \quad (25)$$

$$\Delta_0(\varphi_0) = -\bar{\Delta}_Q(\varphi_0) N \operatorname{ctg} \varphi_0 + \frac{1 + \mu}{E_0 \delta_0} N R_0 =$$

$$= \frac{P}{E_0 \delta_0} \left(\frac{\beta_2 \operatorname{ctg} \varphi_0}{2\pi R_0 / \delta_0 \sin \varphi_0} - \frac{1 + \mu}{2\pi \sin \varphi_0} \right). \quad (26)$$

Сравнивая равенства (14) и (25), (15) и (26), установим, что

$$\alpha_0 = \frac{\alpha_2 \operatorname{ctg} \varphi_0}{2\pi \frac{R_0}{\delta_0} \sin \varphi_0}, \quad (27)$$

$$\beta_0 = \frac{\beta_2 \operatorname{ctg} \varphi_0}{2\pi \frac{R_0}{\delta_0} \sin \varphi_0} - \frac{1 + \mu}{2\pi \sin \varphi_0}. \quad (28)$$

Определим остальные величины, входящие в коэффициенты (3) и обусловленные деформацией цилиндрической оболочки (трубки). Трубка под действием внешней нагрузки (основная система) будет находиться в безмоментном напряженном состоянии (фиг. 4 а). Для нее:

$$w_0 = \text{const} = \frac{\mu P}{2\pi E\delta} . \quad (29)$$

Рассмотрев трубку в отдельности под действием сил $\overline{M} = 1$ и $\overline{Q} = 1$ (фиг. 4 б, в), найдем

$$\overline{w}_M(0) = \frac{1}{R} \left[\frac{d\overline{w}_Q}{d\xi} \right]_{\xi=0} = \frac{1}{E\delta} \omega_1 \left(\frac{R}{\delta} \right), \quad (a)$$

$$\frac{1}{R} \left[\frac{d\overline{w}_M}{d\xi} \right]_{\xi=0} = -\frac{1}{E\delta^2} \gamma_1 \left(\frac{R}{\delta} \right), \quad (б)$$

$$\overline{w}_Q(0) = -\frac{1}{E} \omega_2 \left(\frac{R}{\delta} \right). \quad (в) \quad (30)$$

Здесь

$$\begin{aligned} \omega_1 &= 6(1 - \mu^2) \frac{1}{x^2} \left(\frac{R}{\delta} \right)^2 = 3,3 \frac{R}{\delta} \\ \gamma_1 &= 12(1 - \mu^2) \frac{1}{x} \frac{R}{\delta}, \\ \omega_2 &= 6(1 - \mu^2) \frac{1}{x^3} \left(\frac{R}{\delta} \right)^3. \end{aligned} \quad (31)$$

Наконец, используя равенства (3), (14), (15), (18)–(21) и (30), запишем:

$$\Delta_{M0} = -\frac{P}{E_0 \delta_0^2} \alpha_0, \quad (a)$$

$$\delta_{MM} = \frac{1}{E_0 \delta_0^2} \alpha_1 + \frac{1}{E\delta^2} \gamma_1, \quad (б)$$

$$\delta_{MQ} = \delta_{QM} = \frac{1}{E_0 \delta_0} \alpha_2 - \frac{1}{E\delta} \gamma_2, \quad (в)$$

$$\delta_{QQ} = \frac{1}{E} \omega_2 + \frac{1}{E_0} \beta_2, \quad (г)$$

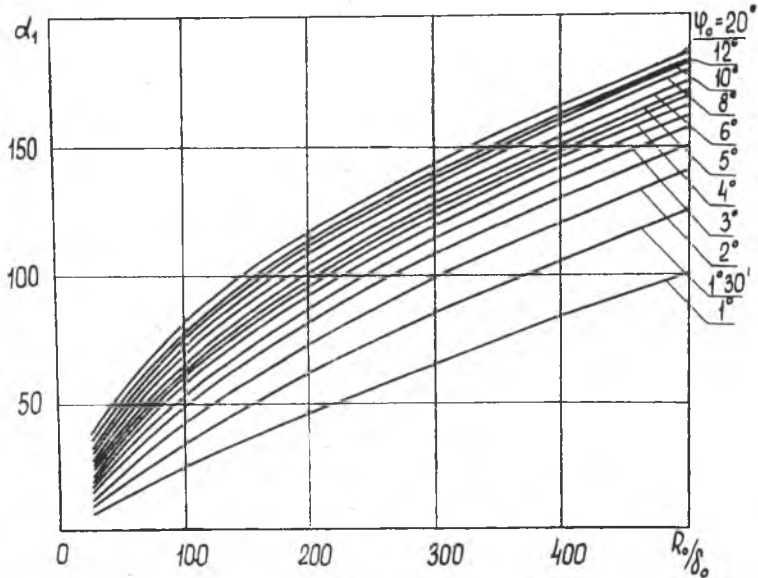
$$\Delta_{Q0} = -\frac{\mu P}{2\pi E\delta} - \frac{P}{E_0 \delta_0} \beta_0. \quad (д) \quad (32)$$

Разрешая уравнения (2) относительно M и Q при значениях коэффициентов (32), будем иметь:

$$M = P \frac{\alpha_0 - \left(\beta_0 + \frac{\mu}{2\pi} \frac{E_0 \delta_0}{E\delta} \right) \frac{\alpha_2 - \frac{E_0 \delta_0}{E\delta} \gamma_1}{\beta_2 + \frac{E_0}{E} \omega_2}}{\alpha_1 + \frac{E_0 \delta_0^2}{E\delta^2} \gamma_1 - \frac{\left(\alpha_2 - \frac{E_0 \delta_0}{E\delta} \gamma_1 \right)^2}{\beta_2 + \frac{E_0}{E} \omega_2}}, \quad (33)$$

$$Q = \frac{P}{\delta_0} \frac{\beta_0 + \frac{\mu}{2\pi} \frac{E_0 \delta_0}{E \delta} + \frac{\alpha_0 \left(\alpha_2 - \frac{E_0 \delta_0}{E \delta} \gamma_1 \right)}{\alpha_1 + \frac{E_0 \delta_0^2}{E \delta^2} \gamma_1}}{\beta_2 + \frac{E_0}{E} \omega_2 - \frac{\left(\alpha_2 - \frac{E_0 \delta_0}{E \delta} \gamma_2 \right)^2}{\alpha_1 + \frac{E_0 \delta_0^2}{E \delta^2} \gamma_1}} \quad (34)$$

Графики безразмерных коэффициентов α_1 , β_1 , β_2 , γ_1 и ω_2^* представлены на фиг. 6—9.

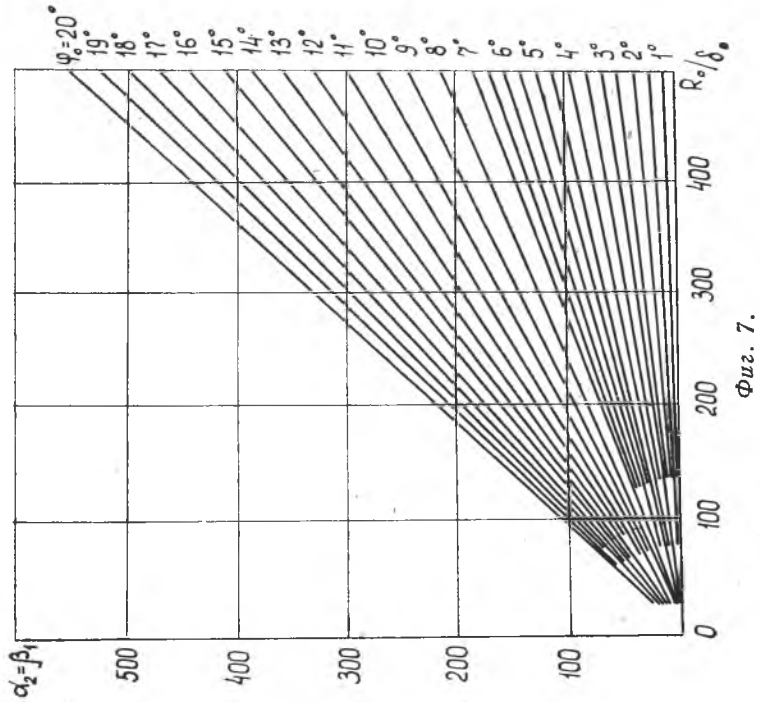


Фиг. 6.

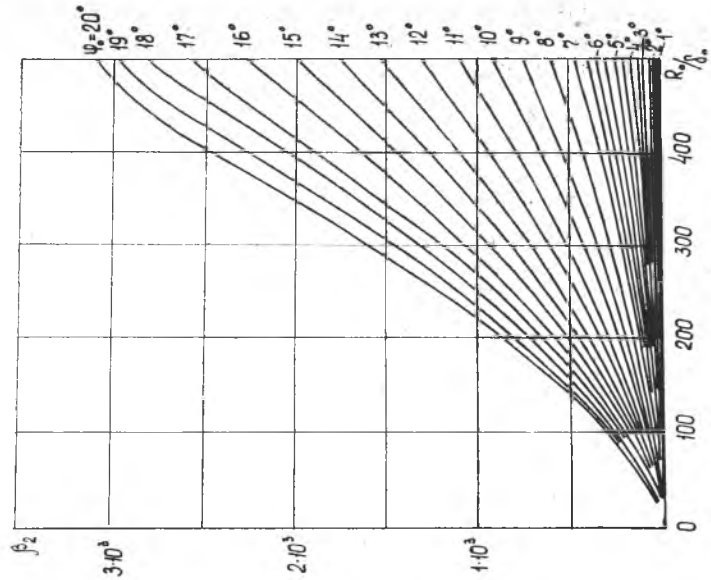
С помощью формулы (33) построен график (фиг. 10), показывающий влияние отношения $\frac{R_0}{\delta_0}$ на величину момента в сочленении при $\frac{E_0 \delta_0}{E \delta} = 1$, $\frac{R}{\delta} = 13,3$ и $R = 20$ мм. С увеличением $\frac{R_0}{\delta_0}$ величина $\frac{M}{P}$ возрастает, (линия 1 на фиг. 10), оставаясь все время меньше его значения для случая сочленения трубки с пластиной (линия 3 фиг. 10).

Если пренебречь вторыми слагаемыми в числителе и знаменателе формулы (33) по сравнению с первыми, то ошибка в определении момента в сочленении не превышает 5%. Это означает,

* Программирование и вычисления всех величин на ЭЦВМ проведены инженером Ю. М. Арсентьевым.



Фиг. 7.

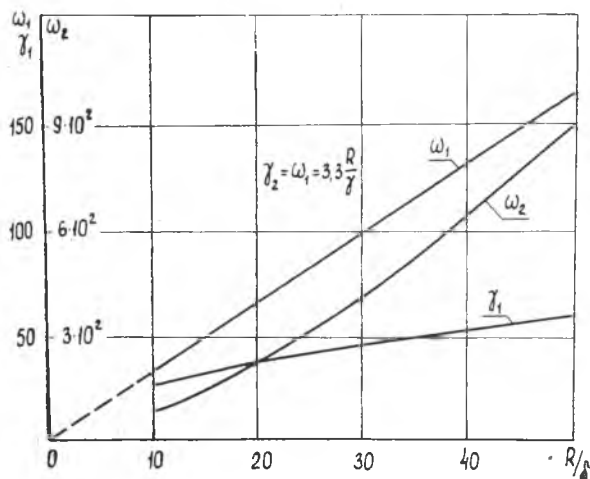


Фиг. 8.

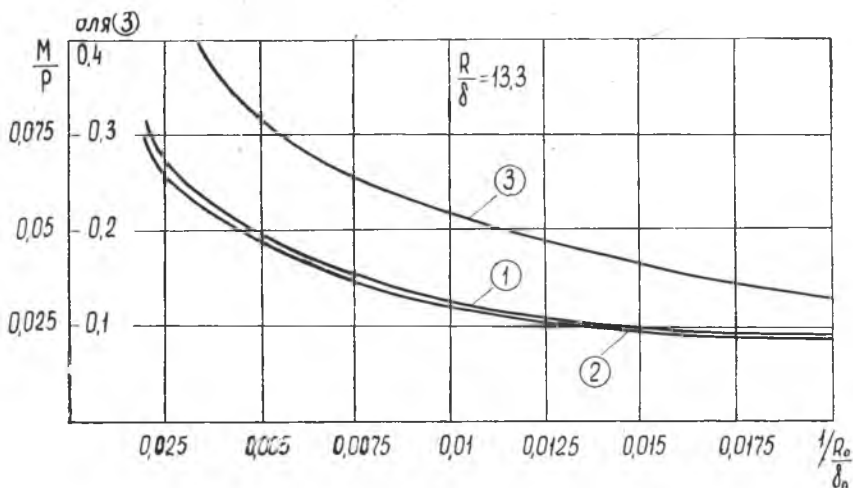
что в данном случае сила Q практически не влияет на величину момента (линия 2 на фиг. 10), и последний может быть определен по приближенной формуле:

$$M = - \frac{\Delta M_0}{\delta_{MM}} = P \frac{\alpha_0}{\alpha_1 + \frac{E_0 \delta_0^2}{E \delta^2} \gamma_1}, \quad (35)$$

Расчеты показывают, что формула (35) применима и в тех случаях, когда значения $\frac{R}{\delta}$ отличны от рассмотренного выше.



Фиг. 9.



Фиг. 10.

Изгибающие моменты и нормальные силы в произвольных сечениях трубки и сферической оболочки определяются по формулам:

$$M_{\xi} = -e^{-\kappa\xi} (\sin \kappa\xi + \cos \kappa\xi) M + Q \frac{R}{\kappa} e^{-\kappa\xi} \sin \kappa\xi,$$

$$N_{\xi} = -\frac{P}{2\pi R}; \quad (36)$$

$$M_{\varphi} = \frac{P}{a_1(\varphi_0) b_2(\varphi_0) - a_2(\varphi_0) b_1(\varphi_0)} \left\{ \left[\frac{1}{2\pi \frac{R_0}{\delta_0} \operatorname{tg} \varphi_0} - \delta_0 \frac{Q}{P} \sin \varphi_0 \right] \times \right.$$

$$\left. \times [b_1(\varphi_0) b_2(\varphi) - b_2(\varphi_0) b_1(\varphi)] + [a_1(\varphi_0) b_2(\varphi) - a_2(\varphi_0) b_1(\varphi)] \frac{M}{P} \right\} \quad (37)$$

$$N_{\varphi} = -\frac{P \operatorname{ctg} \varphi}{(1 - \mu^2) \frac{R_0}{\delta_0} [a_1(\varphi_0) b_2(\varphi_0) - a_2(\varphi_0) b_1(\varphi_0)]} \left\{ \left[\frac{1}{2\pi R_0 \operatorname{tg} \varphi_0} - \frac{Q}{P} \sin \varphi_0 \right] \times \right.$$

$$\left. \times [b_1(\varphi_0) V_2 - b_2(\varphi_0) V_1] + [a_1(\varphi_0) V_2 - a_2(\varphi_0) V_1] \right\} \frac{M}{P \delta_0} - \frac{P}{2\pi R_0}. \quad (38)$$

Напряжения в трубке и сферической оболочке будут равны

$$\sigma_{\xi} = -\frac{P}{2\pi R \delta} \pm \frac{6M_{\xi}}{\delta^2}, \quad (39)$$

$$\sigma_{\varphi} = \frac{N_{\varphi}}{\delta_0} \pm \frac{6M_{\varphi}}{\delta_0^2}. \quad (40)$$

По полученным формулам проведен числовой расчет сочленения с параметрами $\frac{R_0}{\delta_0} = 200$, $\frac{R}{\delta} = 13,3$, $\frac{E_0 \delta_0}{E \delta} = 1$, при $R = 20$ мм.

Оказалось, что в сочленении $\frac{M}{P} = 0,0495$, а $\frac{Q}{P} \delta_0 = 0,0208$. Закон изменения напряжений, возникающих при этом в трубке и сферической оболочке, приведен на фиг. 11 и 12.

Рассмотрим теперь случай, когда система подвержена действию внутреннего избыточного давления p (фиг. 3 а). При решении задачи, в соответствии с рассмотренным методом, необходимо заново определить лишь коэффициенты Δ_{M0} и Δ_{Q0} системы уравнений (2) по формулам:

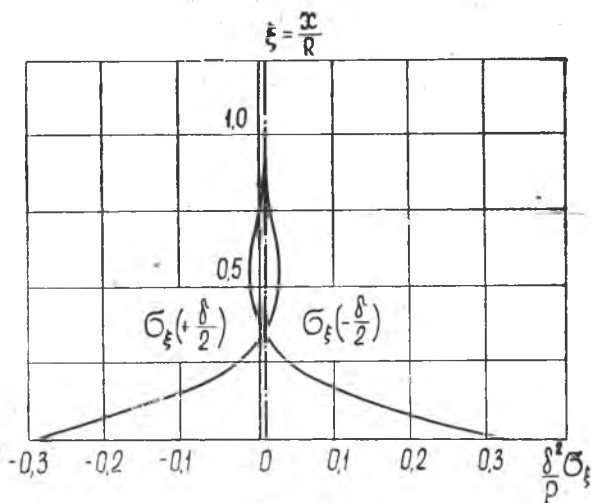
$$\Delta_{M0} = p \frac{\pi R^2}{E_0 \delta_0^2} \alpha_0, \quad (41)$$

$$\Delta_{Q0} = -p R^2 \left[\left(1 - \frac{\mu}{2} \right) \frac{1}{E \delta} - \left(\pi \beta_0 + \frac{1 - \mu}{2 \sin \varphi_0} \right) \frac{1}{E_0 \delta_0} \right]. \quad (42)$$

Учитывая выражения (32 б, в, г) и (41)—(42), из системы уравнений (2) получим:

$$M = -pR^2 \frac{\pi\alpha_0 + \left[\left(1 - \frac{\mu}{2}\right) \frac{E_0 \delta_0}{E\delta} - \pi\beta_0 - \frac{1-\mu}{2 \sin \varphi_0} \right] \frac{\alpha_0 - \frac{E_0 \delta_0}{E\delta} \gamma_2}{\beta_2 + \frac{E_0}{E} \omega_2}}{\alpha_1 + \frac{E_0 \delta_0^2}{E\delta^2} \gamma_1 - \frac{\left(\alpha_2 - \frac{E_0 \delta_0}{E\delta} \gamma_2\right)^2}{\beta_2 + \frac{E_0}{E} \omega_2}} \quad (43)$$

$$Q = -p \frac{R^2}{\delta_0} \frac{\pi\beta_0 - \frac{1-\mu}{2 \sin \varphi_0} - \left(1 - \frac{\mu}{2}\right) \frac{E_0 \delta_0}{E\delta} + \pi\alpha_0 \frac{\alpha_2 - \frac{E_0 \delta_0}{E\delta} \gamma_2}{\alpha_1 + \frac{E_0 \delta_0^2}{E\delta^2} \gamma_1}}{\beta_2 + \frac{E_0}{E} \omega_2 - \frac{\left(\alpha_2 - \frac{E_0 \delta_0}{E\delta} \gamma_2\right)^2}{\alpha_1 + \frac{E_0 \delta_0^2}{E\delta^2} \gamma_1}} \quad (44)$$



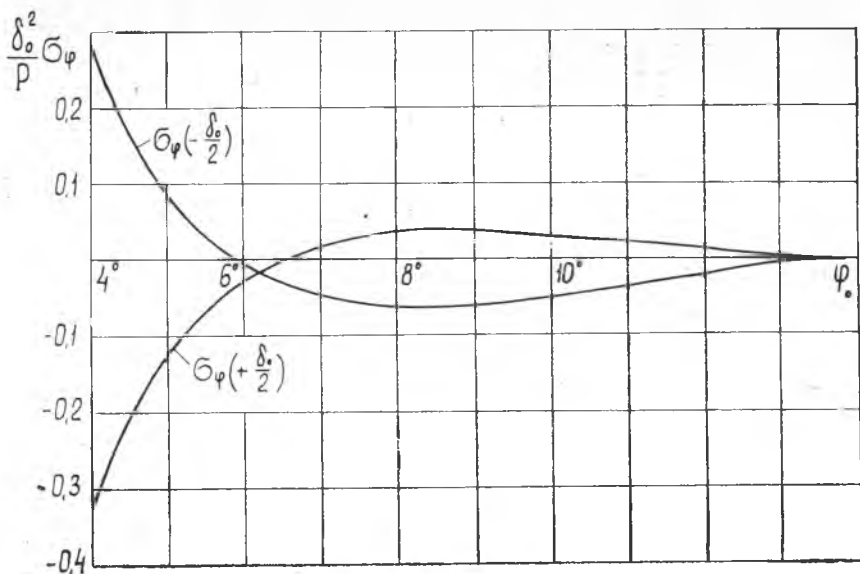
При этом для определения изгибающих моментов в произвольных сечениях трубки и сферической оболочки можно воспользоваться формулами (36) — (37), положив в них $P = pR^2$. Значения же нормальных усилий будут равны

$$N_x = p \frac{R}{2}, \quad (45)$$

Фиг. 11.

$$N_\varphi = \frac{p\pi R^2}{(1 - \mu^2) [a_1(\varphi_0) b_2(\varphi_0) - a_2(\varphi_0) b_1(\varphi_0)] \frac{R_0}{\delta_0}} \left\{ \left[\frac{1}{2\pi R_0 \operatorname{tg} \varphi_0} - \sin \varphi_0 \right] \times \right. \\ \left. \times [b_1(\varphi_0) V_2 - b_2(\varphi_0) V_1] \frac{Q}{p\pi R^2} + \frac{M}{p\pi R^2 \delta_0} [a_1(\varphi_0) V_2 - a_2(\varphi_0) V_1] \right\} + p \frac{R_0}{2}. \quad (46)$$

Отметим в заключение, что формулы (33), (34), (43) и (44) дают возможность анализировать напряженное состояние сферической оболочки, к которой вместо упругой трубки присоединена жесткая вставка или шайба. Для этого в указанных формулах



Фиг. 12.

следует обратить в нуль все величины, обусловленные деформацией трубки. Так положив $E\delta = \infty$, а $\gamma_2 = \omega_2 = \gamma_1 = 0$, получим, например,

$$M = P \frac{\alpha_0 - \beta_0 \frac{\alpha_2}{\beta_2}}{\alpha_1 - \frac{\alpha_2^2}{\beta_2}} \quad (45)$$

или

$$M = -pR^2 \frac{\pi\alpha_2 - \left(\pi\beta_0 + \frac{1-\mu}{2\sin\varphi_0}\right) \frac{\alpha_2}{\beta_2}}{\alpha_1 - \frac{\alpha_2^2}{\beta_2}} \quad (46)$$

Формулы (33), (34), (43), (44) и (46) позволяют быстро оценить напряженное состояние зоны сочленения цилиндрических и сферических оболочек при осесимметричном нагружении.

ЛИТЕРАТУРА

1. С. П. Тимошенко, С. Войновский-Кригер. Пластинки и оболочки, Гос. изд-во физико-математической литературы, 1963.
2. В. Флюгге. Статика и динамика оболочек, Гостройиздат, 1961.
3. А. И. Лурье. Статика тонкостенных упругих оболочек, Гостехиздат, 1947.

4. Ю. Л. Тарасов. Исследования напряжений в сочленениях трубопроводов со сферическими днищами, Юбилейная научно-техническая конференция. Тезисы докладов, Куйбышевский авиационный институт, Куйбышев, 1967.
 5. F. A. Leckie, Localized Loads Applied to Spherical Shells, *Journal Mechanical Engineering Science*, V. 3, N 2. 1961.
 6. P. P. Bijlaard, Local Stresses in Spherical Shells from Radial or Moment Loadings, *Welding Research Suppl*, May., 1957.
 7. G. D. Galletty, Influence Coefficients for Open-Crown Hemispheres, *J. of Engineering for Industry*, January 1960.
 8. Ф. Уитт, Р. Гвелтни, Р. Максвелл, Р. Холлэнд. Сравнение теоретических и экспериментальных результатов для сферических оболочек с одним жестко прикрепленным патрубком. Труды Американского общества инженеров-механиков, Энергетические машины и установки, (русский перевод). № 3, 1967.
 9. Джонсон. Напряжения в сферической оболочке с нерадиальным патрубком. Труды Американского общества инженеров-механиков, прикладная механика, (русский перевод) № 2, 1967.
 10. *Simp. Nuclear Reactor Containment Buildings and Pressure Vessels*, Glasgow, 1960.
-